

구체콘크리트면에 받는 열온도의 시뮬레이션 실험

The Estimation of Surface Temperature of Concrete Frame Caused by Fire

中川宗男*

Nakagawa, Muneo

柳 啓**

Kei, Yanagi

오상근***

Oh, Sang Keun

정환목****

Jung, Hwan Mok

최희용*****

Choi, Hee Yong

Abstract

The object of this paper is to analyze the surface temperature of RC structures caused by fire. The experimental analysis is undertaken by using following two methods.

- 1) Simulation to analyze the relationship between the temperature and the condition change for glass wool caused by fire.
- 2) Temperature-analysis (TG/DTA tests) of RC structures

From the results of the two experimental analysis, it was possible to estimate the temperature of RC concrete structures caused by fire.

1. 실험 개요 및 목적

본 실험은 화재를 당한 표기RC건물의 사용내구성에 관련하여 화재정도가 크게 나타나는 부위의 구체콘크리트면에 받는 열온도를 추정하기 위하여 행한 실험조사이다.

본 조사의 요점(목적)은 콘크리트 면에 외장되어진 Glass-Wool을 강제가열할 때의 상태변화와 온도의 관계를 추적측정하는 것이며, 현장의 콘크리트를 포함한 건설재료가 받는 온도를 검사하는 것이다.

또한, 실험의 결과의 상호 보완을 위하여 다음의 2가지 방법으로 행하였다.

① 전기로 가열실험 (열전대 온도검출)

② 가스버너 가열실험 (Thermo-Video-System 과 열전대 병용에 의한 온도검출) : 채취한 시료

* 日本技術研究所, 책임연구원

** 日本건축建築材料試驗Center

*** 서울산업대 교수

**** (주)대동 기술연구소 책임연구원

***** (주)대동 기술연구소 연구원, 충남대 박사과정

(Φ30cm코아)를 TG/DTA분석을 행하여 비교·검토하였다.

2. 실험개요

2.1 실험계획 (시뮬레이션 실험)

표 1과 같이 실험요인을 정하고 측정시료 Glass-Wool의 「가열방법과 온도검출방법」, 「폭로온도」 및 「폭로시간」을 선택하여 여러가지의 방법에 의해 실험·검토하였다.

이에 대한 실험방법 및 설명은 전기로 가열실험과 가스버너 가열실험의 2가지로 분류하여 서술하였다.

표 1 실험요인과 수준

요인	수준	
가열·온도 검출별	A ₁	A ₂
폭로시간 (min)	1min, 5min, 30min	
폭로온도 (°C)	200, 300, 400, 500, 550, 600, 650, 700, 800	

2.2 전기로 가열실험

예상설정온도(=폭로온도)로 가열한 전기로내에 측정시료를 정치하여 소정시간(=폭로시간)동안 유지하였을 경우에 시료의 외관변화를 카메라촬영에 의해 추적하였다.

2.2.1 시료와 사용기기

① 피해시료와 측정시료

- 피해시료(A) : 현장에서 가장 화재피해를 많이 받은 Glass-Wool
- 피해시료(B) : 현장에서 채취된 Glass-Wool에서 화재피해가 가장 큰 부위
- 측정시료 : 피해시료와 거의 동질의 화재 피해를 입은 Glass-Wool (표 2 참조)

② 전기로

사용한 전기로의 제품시방은 아래와 같다.

- 형식 : 250×250×500mm, 1,300°C-제어 장치 부착

2.3 가스버너 가열실험

시료를 가스버너에 의하여 직접 가열하였을 때의 온도분포를 측정하는 실험이다.

Thermo-Video-System (=적외선 Video-Camera)를 이용하여 시료표면(3개소)의 온도를 검출하여 폭로온도로 조정하여 소정시간 유지할 경우에 나타나는 시료의 온도 및 외관변화를 추적하였다.

동시에, 미리 준비해둔 sheath열전대(:3본)에 의해 동일시료의 두께방향의 분포온도를 검출하여 기록하였다.

표 2 시료 Glass-Wool의 특성치

항목	특성치
◇ 형상	• 메트 형태
◇ 밀도 (kg/m ³)	• ~32~
◇ 열전도율 (kcal/mhr°C)	• 0.045~0.052
◇ 제품두께 (mm)	• 50
◇ 사용온도 max.(°C)	• 300
◦ 관련 JIS	• JIS A 9522

2.3.1 측정시료 및 사용기기와 측정상황

① 측정시료

가스버너에 의한 측정시료는 전기로 가열실험과 동일시료를 이용하였다.

② 사용기기

- Thermo-Video-System

실험에 사용한 Thermo-Video-System (=TVS-2000, TVS로 약칭)의 외관은 사진 1과 같으며, 적외선헤드 (=Camera-Head)와 이미지프로 센서로 구성되어 있다.

- Sheath열전대와 Thermo-Data-Logger를 사용한 열전대의 종류는 K(CA)이며, 이에 대한 시방서는 표 3과 같다.
- 가스버너 : 프로판용 가스버너를 이용하고, 화재(열온도)의 조정에 의한 시료의 가열온도를 유지하는 방법

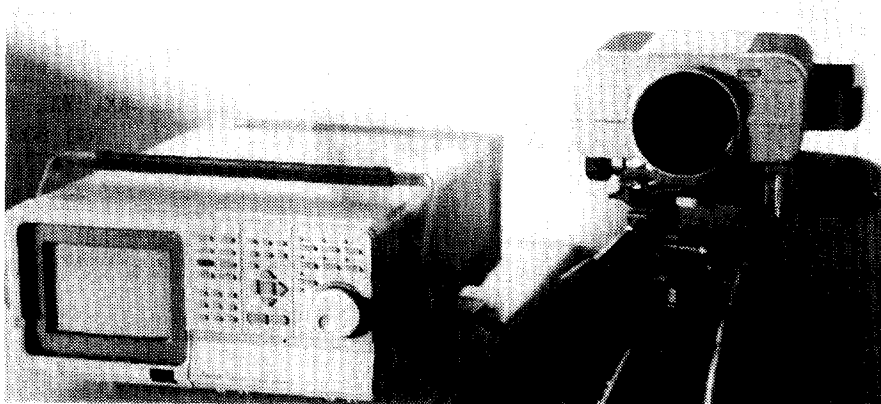


사진 1 TVS의 외관

③ 측정상황

- Draft-Chamber내에 측정시료를 장치하고, 가스버너에 의하여 가열한다.

시료표면 온도를 Thermo-Video-System으로 검출기록함으로써, 시료에 매립된 열전대에 의하여 내층(표층(하)), 중층(중), 외층(상))온도를 데이터로그로 검출기록하였다.

- 폭로온도 : 300°C와 600°C의 2가지로 비교하여 실험하였다.

표 3 열전대(K(CA))의 외관

Sheath 외경	소선직경	소선저항	사용 한계온도
Φ32mm	Φ0.40mm (single)	3.2Ω/m	750°C

2.4 실험계획 (콘크리트 표면의 시차열/열중량분석(T : G/DTA))

2.4.1 분석요인과 수준 : 표 4와 같다.

2.4.2 사용기기

- TG/DTA-320형(세이코 전자공업사제)
- 측정 변위기 : 공기 (200ml/min 공급)
- 측정온도 : 50~1000°C
- 상승속도 : 20°C/min

표 4 분석요인과 수준

요인	수준
채취시료별 시료의 분석부분 (표면에서의 깊이)	No1, No6, No7 표면에서 1cm, 표면에서 3cm

2.4.3 분석 방법

- 분석메카니즘 : 시료를 단열상태로 하고, 일정속도로 온도를 높인다. 시멘트수화물의 경우는 105

℃, 500℃, 800℃ 전후이므로 각각 겔수의 기화, 수산화칼슘의 분해 (=탈H₂O), 탄산칼슘의 분해 (=탈CO₂)에 의하여 흡열반응이 일어나고 분석챠트 위에 흡열피크로하여 표시한다. 각 포인트의 흡열피크에 있어서 손상되지 않은 정상적인 시료와 대상시료를 비교하는 것에 의하여 그 열이력을 개괄적으로 판단한다.

3. 실험결과

3.1 실험결과 (1)

온도를 500, 550, 600, 650℃로 조정한 전기로내에 1, 5 및 30분간 폭로하였을 때의 폭로온도 및 시간과 시료외관과의 관계를 정리하면 다음과 같다.

- ① 500℃ 폭로의 경우 : 폭로초기의 시료에 변색(1분에서는 흑색으로 변함, 5분에서는 백색으로 변화함)을 볼수있으나, 30분에서는 변형이 일어나지 않는다.
- ② 550℃ 폭로의 경우 : 폭로초기에 변색 (흑색 또는 백색)과 변형(=부분적 수축)을 볼수 있다. 시간에 따른 변형의 경시변화(1분에서→30분) 경향은 작게 나타나고 있다.
- ③ 600℃ 폭로의 경우 : 폭로초기에 변색 (흑색 또는 백색)과 보다 큰 변형을 볼수 있으며, 경시(1분에서→30분)변화 (=단면으로 1/2정도 수축)도 크게 나타나고 있다.
- ④ 650℃ 폭로의 경우 : 폭로초기에 변색(=백색으로 변함)과 더욱더 커다란 변형을 볼수 있으며, 경시변화도 600℃보다 더 상회한다.
- ⑤ 화재피해를 크게 받은 채취시료에서 외관에 가까운 측정시료의 폭로온도는 550~600℃로 사료된다.

3.2 실험결과 (2)

실험결과를 ①TVS에 의한 것과 ②열전대에 의한 것으로 분류하여 서술한다.(사진2 참조)

① TVS에 의한 실험결과

- 폭로온도가 300℃의 경우 : 사진3과 같이 시료표면에 현저한 변화 성상이 나타나고 있으며, 폭로시간의 경과(1분에서→30분)와 함께 변색의 정도가 증가하고 있다. 또한, 대부분의 피재시료는 거의 동일한 정도의 변색상태를 보이고 있다.
- 폭로온도가 600℃의 경우 : 시료면에서 용융에 의한 수축변화가 나타나고 있다. 이것은 극소한 피재시료에만 확인되는 변화로 본 화재의 연소에 의하여 구체-외장재가 변화된 최고 온도에 근접한 것으로 추찰된다.

② 열전대에 의한 실험결과

그림 1, 2에 시료면을 약 300℃와 600℃의 화재온도에 폭로한 경우의 내총온도의 측정치를 나타낸 것이다. 그림 2의 경우, 화재근접부의 하총온도는 측정불능이므로 생략하였다.

- 폭로온도 300℃의 경우 : 폭로시간 30분후에서는 시료 내총온도가 화재로부터의 거리가 근접한 순으로 나타나고 있다. 즉, 하층 : 약 300℃, 중층 : 약 150℃, 상층 : 약 50℃이며, 시료Glass-Wool의 단열효과가 현저하다.
- 폭로온도 600℃의 경우 : 시료 내총온도가 화재로부터의 거리가 근접한 순으로 중층 : 약 250℃, 상층 약 100℃로 폭로온도 300℃와 비교하여 약 2배이상 상승하고 구체콘크리트에 접하는 곳의

온도는 무시되는 정도이다.

3.3 실험결과 (3)

측정시료의 수에 맞추어 6매의 분석챠트를 얻어 여러가지 TG 및 DTA곡선이 나타내지고 있다. DTA곡선위에는 500또는 800°C전후에 흡열피크가 보이며, 흡열피크에 대응하는 모양으로 TG곡선에서 변화를 보이고 있다.

TG곡선의 변화 및 중량 감소를 여러가지 환산한 결과물이 표 5의 수산화칼슘과 탄산칼슘에 관한 추정치이다. 시료 건수가 작은 것의 시료의 받는 열온도에 있어서 다음과 같다고 말할수 있다.

- ① 수산화칼슘의 양 : 깊이 1cm의 경우 Control No. 1(100%)에 대한 No. 6(42%), No. 7(0%)로 감소하고 있으며, 깊이 3cm에서도 증가의 경향을 나타내며, 약간 비슷한 경향(=저감)을 보이며, 이 부분에서(=No. 6, No. 7) 470°C이상의 열이력이 확인된다.
- ② 탄산칼슘의 양 : 깊이에 따른 경향을 볼때, 수산화칼슘이 비슷하게 감소하고, 연소에 의한 탄산화의 영향이 고려되지만, 열에 의한 탄산칼슘 량의 증감은 나타나지 않으며, 대략 750°C를 넘는 열이력은 없는 것으로 보인다.

이상에 의해, 시료 No. 6, No. 7의 받는 열의 온도는 500에서 750°C 사이에 있으며, 500°C정도로 추찰된다.

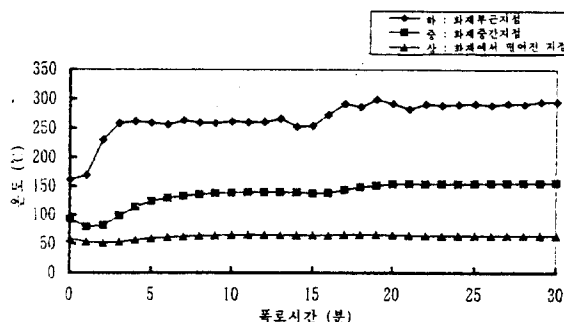


그림 1 베너화열 300°C에 폭로되었을 때의 시료층의 온도분포

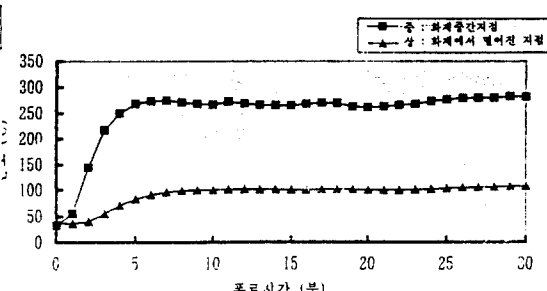


그림 2 베너화열 600°C에 폭로되었을 때의 시료층의 온도분포

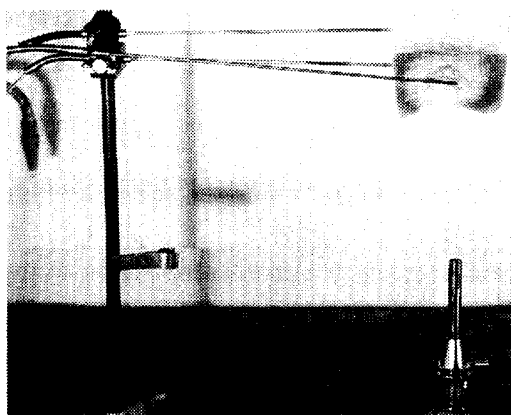


사진 2 시료와 열전대 및 TVS와 데이터로거

4. 실험결과에 관한 종합적 고찰

화재현장에서 채취한 피재시료(=구체콘크리트의 외장(Glass-Wool)와 아랫과 동질의 공시료를 사용한 가열실험의 결과에서 구체콘크리트 이외의 받는 온도는 기껏해야 600°C가 되는 것으로 추정된다).

표 5 분석시료중의 수산화 및 탄산화칼슘량의 추정치

시료별	표면부터의 거리	Ca(OH)2	CaCO3
No. 1 (Control)	1cm 깊이	1.2 (100)	16 (100)
	3cm 깊이	4.0 (100)	5.8 (100)
No. 6	1cm 깊이	0.5 (42)	23 (144)
	3cm 깊이	2.3 (53)	13 (224)
No. 7	1cm 깊이	- (0)	22 (138)
	3cm 깊이	1.5 (38)	8.6 (148)

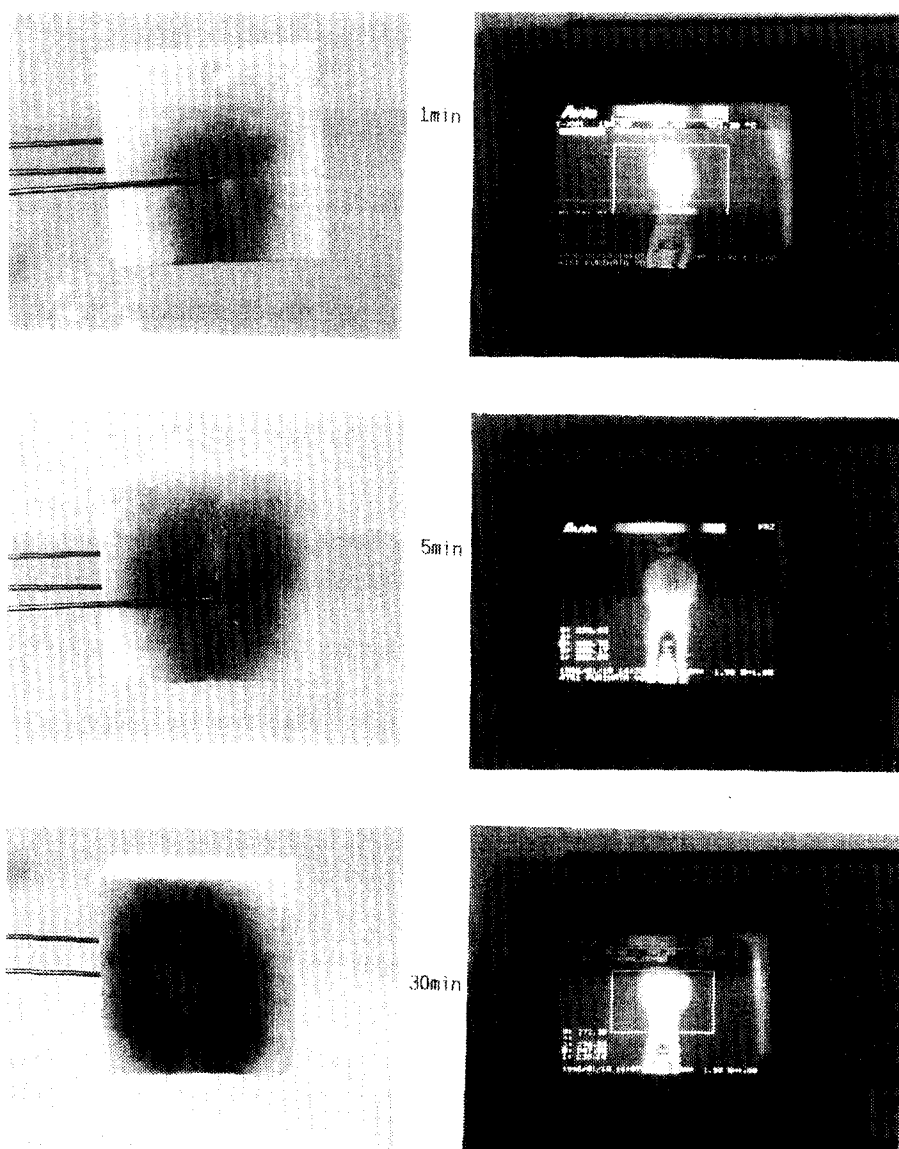


사진 3 버너화열 300°C에 폭로된 시료와 TVS